

وزارة التعليم العالي و البحث العلمي

المركز الجامعي تيسمسيلت

معهد العلوم والتكنولوجيا

قسم علوم المواد



# مذكرة تخرج

قدمت لنيل شهادة

ماستر في الفيزياء

تخصص نانو فيزياء

من طرف

شایب بصو جمال

مناد عبد الإله

بحنوان

---

المساهمة في دراسة الخصائص البنوية والإلكترونية للخلط  $Zn_{1-x}Be_xSe$  بطريقة "FP-LMTOab-anitio"

---

نوقشت يوم 18/10/2020 أمام لجنة التحكيم المؤلفة من:

(MAA) المركز الجامعي تيسمسيلت

السيد طيب الزروقي

الرئيس

(MCB) جامعة ابن خلدون تيارت

السيد بلفضل عبد المنعم

المشرف

(MCA) المركز الجامعي تيسمسيلت

الأنسة بودية كلومة

مناقشة

## ملخص

في بحثنا هذا تم استخدام طريقة الحساب (ab-initio) لدراسة الخصائص البنوية والإلكترونية للمركب الثلاثي  $Zn_{1-x}Be_xSe$  لهذا استعملنا طريقة FP-LMTO التي تعتمد على نظرية كثافة الدالة DFT. قمنا بحساب الخصائص البنوية والإلكترونية باستعمال تقريب LDA. حيث وجدنا أن تأثير تركيز العنصر Be في المركب على علاقة عكسية مع ثابت الشبكة  $a_0$  وعلى علاقة طردية مع طاقة الفجوة ومعامل الانضغاطية للمركب.

كلمات مفتاحية:

LDA,  $Zn_{x-1}Be_xSe$ , الخصائص البنوية, الخصائص الإلكترونية, FP-LMTO

## **Abstract**

In our research, the calculation method (ab-initio) was used to study the structural and electronic properties of the triple compound  $Zn_{1-x} Be_x Se$ . Therefore, we used the FP-LMTO method which is based on the density functional theory DFT. We calculated the structural and electronic properties using LDA approximation. We found that the effect of the concentration of the element Be in the compound has an inverse relationship with the lattice constant  $a_0$  and has a direct relationship with the gap energy and the compressibility factor of the compound.

### **Key words:**

FP-LMTO, propriétés structurales, propriétés électroniques,  $Zn_{1-x}Be_x Se$ , LDA.

## Résumé

Dans notre travail, nous avons utilisé la méthodede calcul (ab-initio) FP-LMTO qui est basée sur la théorie de la densité fonctionnel DFT, pour étudier les propriétés structurelles et électroniques du composé ternaire  $Zn_{1-x} Be_x Se$ . Nous avons calculé les propriétés structurales et électroniques en utilisant l'approximation LDA. Nous avons constaté que l'effet de la concentration de l'élément Be dans le composé a une relation inverse avec la paramètre de maille  $a_0$  et a une relation directe avec l'énergie de gap et le facteur de compressibilité du composé.

### Mots clés:

FP-LMTO,propriétés structurales, propriétésélectroniques,  $Zn_{1-x}Be_x Se$ , LDA.

# شكر و عرفان

الحمد لله رب العالمين والصلاه على سيد الأولين والآخرين نبينا محمد وعلى آله وصحبه أجمعين... أما بعد:

فنحمد الله ونشكره على توفيقه وفضله الذي منّ علينا بإتمام هذه المذكرة.

يسرنا ويسعدنا أن نتقدم بواهر الشكر وعظيم الامتنان لكل من ساهم من قريب أو بعيد في إتمام هذا العمل، ونخص بالشكر جميع أساتذتنا الفضلاء بالمركز الجامعي بتيسيريات كما نتقدم بالشكر لأستاذنا الفاضل الدكتور عبد المنعم بلفضل، وذلك لتفضله بالإشراف على هذه الدراسة، ولصبره علينا ولما بذله من وقت و جهد، فجزاه الله خيرا.

كما نتقدم بالشكر لزميلنا الطالب حميد نهمار، لما وجدناه منه من تعاون واحترام. و الشكر موصول إلى كل من اقطع من وقته الثمين في سبيل إتمام هذه المذكرة. وصلى الله على نبينا محمد وعلى آله وصحبه أجمعين.

الطالبان

# إهداع

أهدي هذا العمل المتواضع  
إلى روح والدتي طيب الله ثراها...  
إلى من نذر عمره في أداء رسالة  
صنعها من أوراق الصبر... وطرزها في ظلام الدهر  
على سراج الأمل... بلا فتور أو كلل  
رسالة تعلم العطاء كيف يكون العطاء... وتعلم الوفاء كيف يكون الوفاء  
إليك أبي أهدي هذه الرسالة... وشتان بين رسالة ورسالة  
جزاك الله خيراً... وأمد في عمرك بالصالحات  
فأنت زهرة الحياة ونورها  
وأهدني هذا العمل إلى عمي اعمي الذي يعجز اللسان عن التعبير على كل  
ما قدمه لي أطال الله عمره في طاعة الرحمن  
وإلى كل أفراد أسرتي وعائلتي  
وبكل الحب... إلى أستاذتي الغالية  
إلى من سارت معي نحو الحلم... خطوة بخطوة  
بذرناه معاً... وحصدناه معاً  
إليك أستاذتي لعطب فطيمة

• ممتاز عبد الله

اللَّا إِلَهَ إِلَّا هُوَ

أهدي هذا العمل إلى أبي و

أمّي وأهلي

وأصدقائي وجميع المسلمين.

جمال شايب بصو

## فهرس الأشكال

الشكل 1.1.	معامل التوصيل الكهربائي للعوازل ، أشباه الموصلات والموصلات.....	16.....
الشكل 2.1.	طاقة الفجوة لمختلف المواد ( عوازل, موصلات و أشباه موصلات)	18.....
شكل 3.1.	الانتقالات الإلكترونية المباشرة وغير مباشرة.....	21.....
الشكل 4.1.	بنية كبريت الزنك.....	22.....
الشكل 5.1.	البنية NaCl.....	23.....
الشكل 6.1.	بنية المركب ZnSe.....	24.....
الشكل 7.1.	بنية المركب BeSe.....	24.....
الشكل 1.2.	الطاقة الكلية بدلالة الحجم للمركب ZnSe في البنيات الثلاث $B_1$ و $B_2$ و $B_3$ .....	33.....
الشكل 2.2.	الطاقة الكلية بدلالة الحجم للمركب ZnSe في البنيات الثلاث $B_1$ و $B_2$ و $B_3$ .....	34.....
الشكل 3.2.	عصابات الطاقة للمركبين ZnSe و BeSe في البنية $B_3$ .....	36.....
الشكل 4.2.	الطاقة الكلية بدلالة الحجم للمركب الثلاثي $Zn_{1-x}Be_xSe$ في البنية ZB من أجل $x = 0.25$ .....	37.....
الشكل 5.2.	الطاقة الكلية بدلالة الحجم للمركب الثلاثي $Zn_{1-x}Be_xSe$ في البنية ZB من أجل $x = 0.5$ .....	38.....
الشكل 6.2.	الطاقة الكلية بدلالة الحجم للمركب الثلاثي $Zn_{1-x}Be_xSe$ في البنية ZB من أجل $x = 0.75$ .....	38.....
الشكل 7.2.	ثابت الشبكية بدلالة التركيز للمركب الثلاثي $Zn_{1-x}Be_xSe$ .....	40.....
الشكل 8.2.	عصابة الطاقة للمركب الثلاثي $Zn_{1-x}Be_xSe$ بحيث الوثيقة (A) من أجل تركيز $x = 0.25$ و الوثيقة (B) من أجل تركيز $x = 0.5$ و الوثيقة (C) من أجل تركيز $x = 0.75$ .....	41.....
الشكل 9.2.	طاقة الفجوة للمركب الثلاثي $Zn_{1-x}Be_xSe$ بدلالة التركيز حيث المنحنى A يخص الفجوة الغير مباشرة و المنحنى B يخص طاقة الفجوة المباشرة.....	42.....

## فهرس الجداول

الجدول 1.1. أشباه الموصلات الأحادية والمركبة.....	19
الجدول 2.1. أهم الخواص الفيزيائية لمركبات المجموعة II-VI من الجدول الدوري.....	20
الجدول 1.2. معامل الشبکية و معامل الانضغاطية للمرکبين BeSe و ZnSe .....BeSe	35
الجدول 2.2. طاقة الفجوة للمرکبين BeSe و ZnSe في البنية B	36
الجدول 3.2. الطاقة الكلية الصغرى $E_0$ بدلالة التركيز $x$ للمركب الثلاثي $Zn_{1-x}Be_xSe$	39
الجدول 4.2. ثابت الشبکية $a_0$ و ثابت الإنضغاطية $B_0$ للمركب الثلاثي $Zn_{1-x}Be_xSe$ في البنية ZB من أجل $x = 0.25, 0.5, 0.75$	39
الجدول 5.2. طاقة الفجوة لمركب الثلاثي $Zn_{1-x}Be_xSe$ من أجل $x = 0.25, 0.5, 0.75$	42

	فهرس المحتويات
	الملخص
	شکر و عرفان
	إهداء
	فهرس الأشكال
	فهرس الجداول
	فهرس المحتويات
13	مقدمة عامة
	الفصل الأول: مقدمة حول أشباه الموصلات
16	1.1 مقدمة
17	2.1. أصناف المواد الصلبة (classification of Solidsmaterials)
17	2.1.1. العوازل (Insulators)
17	2.1.2. أشباه الموصلات (Semi-conductors)
17	2.1.3. الموصلات (Conductors)
19	3.1. مركبات المجموعة (II-VI)
20	4.1. الانقلالات الإلكترونية
20	4.1.1. الانقلالات الإلكترونية المباشرة (Direct gap)
20	4.1.2. الانقلالات الإلكترونية غير المباشرة (indirect Gap)
21	5.1. البنية البلورية
21	5.1.1. بنية كبريت الزنك (Zinc bland)
22	5.1.2. البنية NaCl

	3.5.1. البنية البلورية للمركيين ZnSe, BeSe
23	(Crystal structure of the ZnSe and BeSe)
25	6.1. الخلائط (Alloys)
26	7.1. فجوة الطاقة (gap Energy)
26	1.7.1. معامل الامتصاص (Absorption coefficient)
27	2.7.1. معامل الخمود (Influence coefficient)
28	المراجع

#### الفصل الثاني: نتائج و مناقشة

32	1.2. مقدمة
32	2.2. خصائص المركيين الثنائيين
32	1.2.2. دراسة الخصائص البنوية للمركيين ZnSe و BeSe
35	2.2.2. دراسة الخصائص الالكترونية للمركيين ZnSe و BeSe
37	3.2. خصائص المركب الثلاثي $Zn_{1-x} Be_x Se$
37	1.3.2. الخصائص البنوية للمركب الثلاثي $Zn_{1-x} Be_x Se$
40	2.3.2. الخصائص الالكترونية للمركب الثلاثي $Zn_{1-x} Be_x Se$
43	المراجع
44	خاتمة عامة

## مقدمة عامة

علم المواد هو أحد فروع العلوم التطبيقية الذي يهتم بدراسة وتقديم وفهم العلاقة بين التركيب الكيميائي البني لمواد وخصائصها بهدف تحسين هذه الخواص لجعلها أكثر ملائمة للتطبيقات المختلفة، ويركز علم المواد أيضاً على إمكانية التوصل إلى مواد جديدة ذات صفات متميزة تتلاءم والاستخدامات المتعددة للمواد. ويحتوي هذا العلم على عدد كبير من المجالات المهمة بما في ذلك البوليمرات والمواد المركبة وأشباه الموصلات.

ولا يخفى على أحد التقدم الهائل الذي حصل في مجالات الاتصالات والحواسيب والإلكترونيات الدقيقة ومعالجة المعلومات يعود في أساسه إلى النتائج الباهرة التي تم الحصول عليها من خلال أبحاث العلماء في مجال فحص أشباه الموصلات وتركيبتها المتنوعة خلال السنوات الأخيرة. وتعد أشباه الموصلات الثنائية من أهم المركبات التي نالت اهتمام الباحثين منذ اكتشافها، وذلك لامتلاك معظمها فجوات طاقية مباشرة تمتد من المنطقة فوق البنفسجية لتصل إلى المنطقة تحت الحمراء. ومن أهم أشباه الموصلات الثنائية ( VI - II ) من الجدول الدوري. والتي تتكون من معادن المجموعة II ومجموعة الكالكوجينات ( Chalcogene ) وهي المجموعة VI من الجدول الدوري، ومن بين هذه المركبات: CdTe, ZnS, ZnSe ، حيث جذب الكثير من المهتمين بتطبيقات الخلايا الشمسية، الثنائيات الباعثة للضوء، ليزر أشباه الموصلات، وأجهزة الاستشعار البصرية وغيرها من التطبيقات الإلكترونية.

تصنف كالكوجينات البريليوم ( Be - VI ) ضمن أشباه الموصلات الثنائية مثل BeTe, BeSe, BeS ، ....، وتعد جانباً مثيراً للاهتمام بالنسبة للباحثين لأن لها خصائص فيزيائية وكميائية تميزها عن غيرها. هذه المركبات مهمة ومواتية للتطبيقات تكنولوجيا كأجهزة الإنارة والخلايا الكهروضوئية.

يعتبر  $Zn_{1-x}Be_xSe$  مركباً شبه موصلاً ذو أهمية بالغة لتطبيقات الليزر والتطبيقات الإلكترونية ذات الموجة القصيرة، وتشمل هذه التطبيقات التحكم في المحركات وأجهزة استشعار اللهب والبلازما وغيرها.

ومما يدل كذلك على أهمية علم المواد عامة وفيزياء أشباه الموصلات خاصة أن الكثير من الباحثين من علماء الفيزياء يعملون في دراسة خصائص بعض المواد، ويزداد هذا المدى من الموضوعات اتساعاً مع مرور الوقت. وبعد ميكانيكا الكم أفضل تصور لدراسة الخصائص الفيزيائية للمواد الصلبة من خلال معادلة شرودينغر وحلولها في حالة عدد محدد من الذرات، أما

الأنظمة المعقدة فيلجأ لمجموعة من التقريرات للحصول على معلومات تكون أكثر دقة، ومن أبرزها نظرية الكثافة التابعية DFT وتقديراتها.

ويكمن الغرض من هذا العمل المساهمة في دراسة الخصائص التركيبية والإلكترونية لمركب  $Zn_{1-x}Be_xSe$  بطريقة FP-LMTO ، حيث تحتوي هذه المذكورة على فصلين محتواهما كالتالي:

1. **الفصل الأول:** تقديم و عرض المواد المدروسة.

2. **الفصل الثاني:** عرض النتائج المتحصل عليها ومناقشتها المتمثلة في الخصائص البنوية والإلكترونية.

وفي الأخير نقدم خلاصة عامة للنتائج المتحصل عليها.

# **الفصل الأول : تقديم الموارد المدرّوسة**

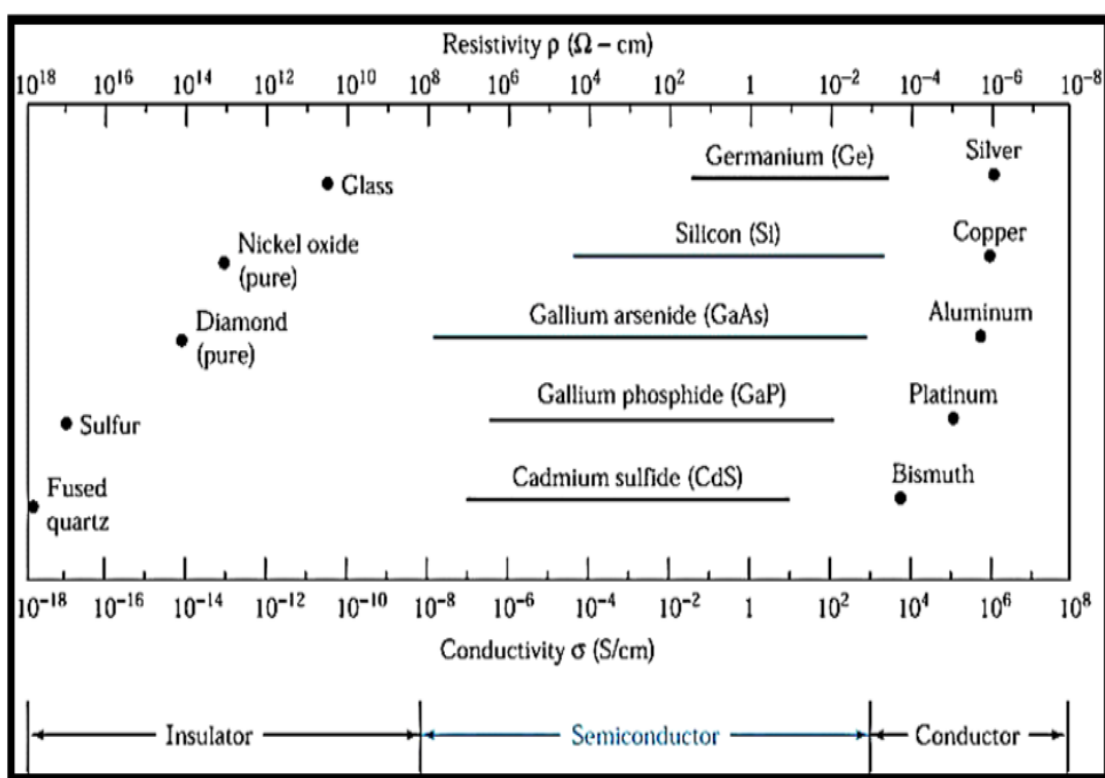
## 1.1 مقدمة

من خلال الجمع بين أشباه الموصلات الثانية (المجموعة II-VI)، نحصل على سبائك جديدة تسمح بتنويع الخصائص الفيزيائية مثل فجوة الطاقة وثابت الشبكية وثابت العزل الكهربائي؛ من أجل تلبية الحاجة إلى تطبيقات أجهزة الجيل الجديد في مجال البصريات غير خطية والإلكترونيات.

بحيث قمنا في هذا الفصل بتصنيف المواد الصلبة (عوازل، أشباه الموصلات والموصلات) كما تطرقنا إلى الخصائص البنوية والإلكترونية لأشباه الموصلات الثانية (المجموعة II-VI).

### 2.1. أصناف المواد الصلبة (classification of Solids materials)

تصنف المواد الصلبة تبعاً إلى ترتيب عصابات الطاقة، أو حسب خصائصها الكهربائية إلى ثلاثة أنواع من المواد وهي العوازل، أشباه الموصلات والموصلات [2] كما في شكل (1.1).



الشكل 1.1. معامل التوصيل الكهربائي للعوازل، أشباه الموصلات والموصلات [1].

### 1.2.1. العوازل (Insulators)

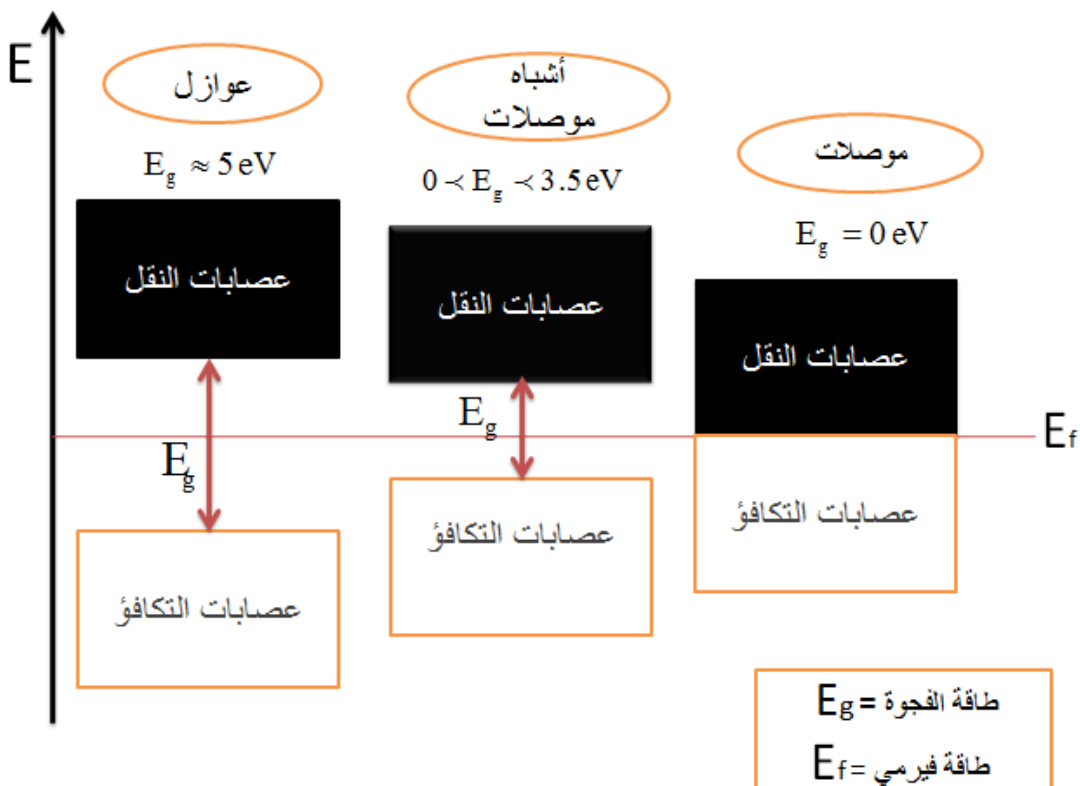
هي المواد التي تكون فيها فجوة الطاقة كبيرة جداً وبحدود ( $5\text{eV}$ )، و تفصل تماماً كل مستويات عصابات التوصيل الفارغة عن عصابات التكافؤ المملوء، إذ يكون عرض عصابات التوصيل وعرض عصابات التكافؤ صغيراً مقارنة بفجوة الطاقة بين الحزمتين [3]. وتشكل الإلكترونات التكافؤ أو أواصر قوية ما بين الذرات المجاورة، ويصعب كسر هذه الأصرة إلا بالطاقات العالية، وعليه فإنه ينعدم وجود إلكترونات التوصيل في عصابات التوصيل، ولا يوجد غاز إلكتروني في هذه المواد، لهذا لا يمكن للمجال الكهربائي المسلط ولا للطاقة الحرارية العاديين أن يهيجا الإلكترونات في أعلى عصابات التكافؤ إلى عصابات التوصيل، وبذلك لا يمكن للتيار أن يسري بسهولة وبذلك تصبح الناقلية الكهربائية واطئة جداً في مدى [ $\Omega\cdot\text{cm}$ ] ( $10^{-8} - 10^{-18}$ ). [2].

### 2.2.1. أشباه الموصلات (Semi-conductors)

هي المواد التي تكون خصائصها الكهربائية واقعة بين العوازل والموصلات، وذلك بسبب ترتيبها الخاص بين الإلكترونات في مستويات الطاقة [4]، هذه الخواص المتوسطة تحدد كل من تركيب البلورة و عصابات الطاقة وميزة الأصرة [5]. تمتاز أشباه الموصلات بوجود فجوة طاقة صغيرة نسبياً بين قمة عصابات التكافؤ وقعر عصابات التوصيل تتراوح بين ( $E_g < 3.5\text{ eV}$  )، لذلك يمكن لبعض الإلكترونات التكافؤ عبور فجوة الطاقة المحظورة إلى عصابات التوصيل ، تاركة ثقب في عصابات التكافؤ، وبفعل المجال الكهربائي المسلط تكتسب الإلكترونات في عصابات التوصيل وكذلك الثقب في حزمة التكافؤ طاقة حرارية تسهم في التوصيل الكهربائي وبذلك فإن الناقلية الكهربائية في أشباه الموصلات هي أصغر من الموصلات ولكنها أكبر من العوازل في مدى [ $\Omega\cdot\text{cm}$ ] ( $10^3 - 10^{-8}$ ). [6].

### 3.2.1. الموصلات (Conductors)

تمتلك المعادن ما يسمى الغاز الإلكتروني الحر (Free Electron Gas)، وهو عبارة عن غيمة من الإلكترونات السالبة التي توجد في كل أجزاء المعدن [7]، إذ تكون عصابات التوصيل مملوقة بهذه الإلكترونات، وتتحرك تحت تأثير المجال المغناطيسي أو الكهربائي الاعتيادي المسلط والمسبب للتدخل الحاصل بين عصابات التكافؤ والتوصيل لذلك فإن جزءاً من الإلكترونات في عصابات التكافؤ تسهم في عملية التوصيل وتجعل المعدن بأعلى ناقلية كهربائية في مدى [ $\Omega\cdot\text{cm}$ ] ( $10^3 - 10^8$ ). [8].



الشكل 2.1. طاقة الفجوة لمختلف المواد ( عوازل, موصلات و أشباه موصلات).

و يجدر الإشارة هنا أن المواد النصف ناقلة تنقسم إلى نوعين: بسيطة و مركبة. المواد البسيطة هي عبارة عن عناصر العمود الرابع (IV) من الجدول الدوري وهي موضحة في الجدول (1.1)، أما أنصاف النواقل المركبة فهي ناتجة عن إدماج عناصر من مجموعات مختلفة، مثلا عناصر من العمود II مع عناصر العمود VI لينتاج بذلك مركب ثانوي II-VI وهناك مركبات ثنائية أخرى ذكر منها V-III، VI-III وهنالك أيضا مركبات ثلاثة وحتى رباعية [9] والجدول (1.1) يوضح بعضها منها.

### الجدول 1.1. أشباه الموصلات الأحادية والمركبة [11].

أشباه الموصلات رباعية	أشباه الموصلات ثلاثية	أشباه الموصلات ثنائية				أشباه الموصلات ثنائية (IV)
		V-VI	II-VI	III-V	IV-IV	
$\text{Al}_x\text{Ga}_{1-x}\text{As}_y\text{Sb}_{1-y}$	$\text{Al}_x\text{Ga}_{1-x}\text{As}$ $\text{GaAs}_y\text{P}_{1-y}$ $\text{Cd}_x\text{Hg}_{1-x}\text{Te}$	<b>PbS</b> <b>PbTe</b>	<b>ZnO</b> <b>ZnS</b> <b>ZnSe</b> <b>ZnTe</b> <b>CdO</b> <b>CdS</b>	<b>AlP</b> <b>GaN</b> <b>AlAs</b> <b>GaP</b> <b>AlSb</b> <b>GaAs</b>	<b>SiC</b> <b>GeSi</b>	<b>C</b> <b>Si</b> <b>Ge</b> <b>Sn</b> <b>Pb</b>

#### 3.1. مركبات المجموعة (II-VI) (Group compounds (II-VI

تعد أشباه الموصلات الثنائية من أهم المركبات التي نالت اهتمام الباحثين منذ اكتشافها، وذلك لامتلاك معظمها فجوات طاقية مباشرة تمتد من المنطقة فوق البنفسجية لتصل إلى المنطقة الحمراء [12]. ومن أهم أنصاف النواقل الثنائية مركبات المجموعة II-VI من الجدول الدوري [10]. والتي تتكون من معادن المجموعة II وهي الزنك (Zn)، الكادميوم (Cd)، والزئبق (Hg)، ومجموعة الكالكوجينات (chalcogens) وهي المجموعة من الجدول الدوري وتشمل : الأكسجين(O)، الكبريت(S)، السيلينيوم (Se)، والتيليريد (Te) ذكر من هذه المركبات: [13]ZnO، ZnS، ZnSe، ZnTe، CdO، CdS، CdSe، CdTe.

حيث تتميز هذه المواد بفجوة طاقة عريضة و مباشرة تتراوح ما بين 3.7-1.5 eV [14]. و يجدر الإشارة إلى أن لهذه المركبات تركيبتين بلوريتين أساسيين وهما : إما سداسي (Hexagonal) أو مكعب (Cubic) من نوع (Wurtzite) (Zinc blende) [13،15]. وبفضل امتلاك مواد هذه المجموعة لخواص مهمة أدى لاستخدامها بشكل كبير في التطبيقات الإلكترونية. كما يوضح الجدول (2.1) أهم الخواص الفيزيائية لهذه المواد.

**الجدول 2.1.** أهم الخواص الفيزيائية لمركبات المجموعة II-VI من الجدول الدوري [16].

درجة الانصهار (C°)	الفجوة الطاقة (eV)	$d_{hkl}$ (Å)	مركبات المجموعة II-VI
1830	3.75	2.36	ZnS
1515	2.72	2.45	ZnSe
1295	2.27	2.64	ZnTe
1750	2.42	2.52	CdS
1258	1.75	2.62	CdSe
1098	1.51	2.79	CdTe

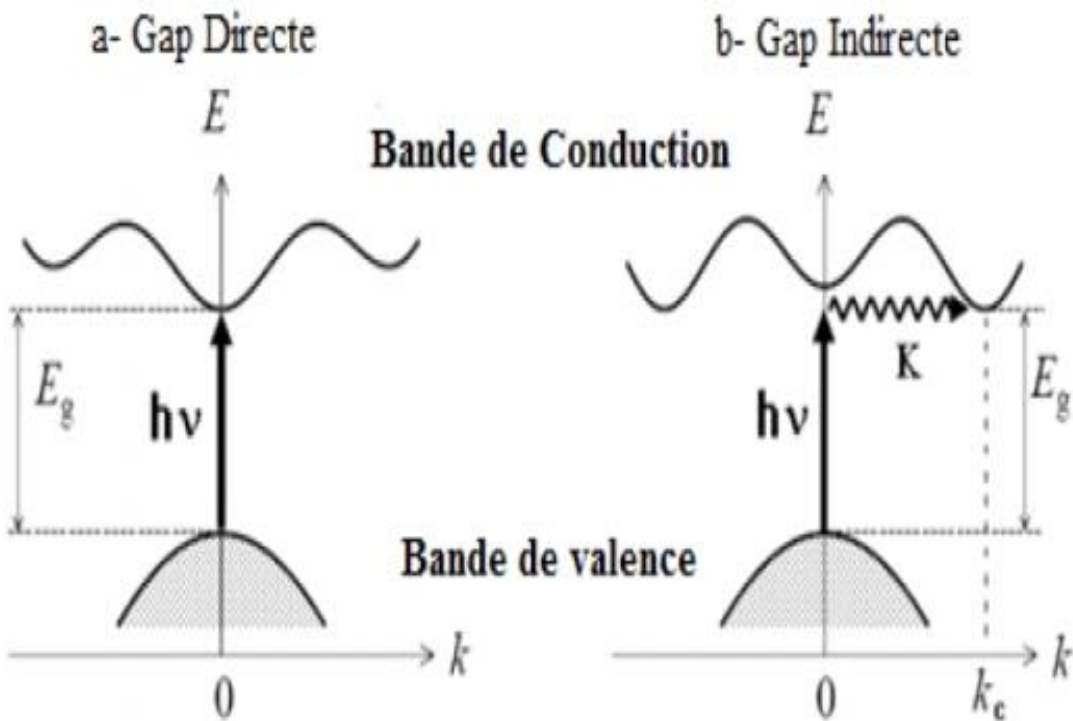
#### 4.1. الانتقالات الإلكترونية

##### 4.1.4.1. الانتقالات الإلكترونية المباشرة (Direct gap)

عند انتقال الإلكترون من قمة عصابات التكافؤ إلى قعر عصابات التوصيل عند النقطة عالية التنازل نفسها بصورة عمودية، يسمى هذا الانتقال بالانتقال المباشر.

##### 4.1.4.2. الانتقالات الإلكترونية غير المباشرة (indirect Gap)

عند انتقال الإلكترون بين أعلى نقطة في عصابات التكافؤ وأوسع نقطة في عصابات التوصيل بصورة غير عمودية ، يسمى هذا الانتقال بالانتقال غير المباشر [21].



شكل 3.1. الانتقالات الإلكترونية المباشرة وغير مباشرة.

### 5.1. البنية البلورية

البنية البلورية هي عبارة عن تجمع عدد لا نهائي من الوحدات الذرية المتماثلة تتكرر بشكل دوري ومنتظم (إذا كانت مثالية) في جميع اتجاهات الفضاء. تتميز البنية البلورية باستقرارها غالباً وامتلاكها لكتافة أصغرية وهذا التمييز يحقق المعالم التالية :

- تحافظ على الاعتدال الكهربائي في البلورة .

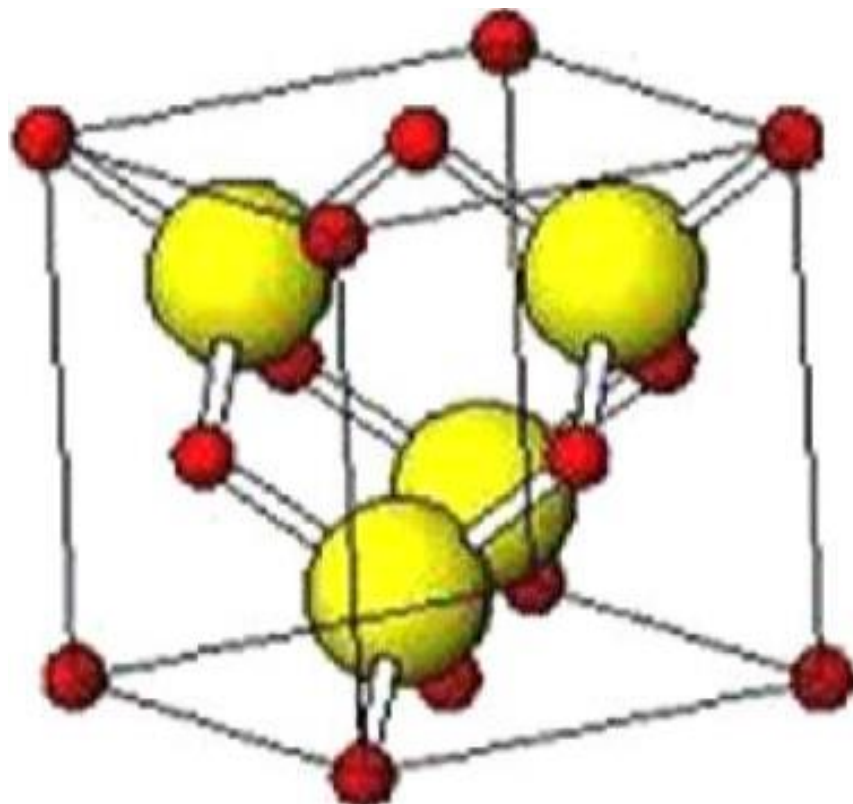
• تكون جميع الروابط بين الذرات محددة.

• تبقى شدة التدافع الناجمة عن (أيون – أيون) أصغرية.

• تجتمع الذرات معاً لتحتل حجماً أصغرياً.

#### 1.5.1. بنية كبريت الزنك (Zinc blende)

إن بنية بلورة كبريت الزنك تشبه تماماً بنية بلورة الماس إلا أنها تختلف عنها في أنها تتكون من نوعين من الذرات تشغل الأولى (الزنك Zn) المواقع (0.0.0) والثانية الكبريت (S) المواقع (1/4 . 1/4 . 1/4).[22]



الشكل 4.1. بنية كبريت الزنك .

#### 2.5.1. البنية $\text{NaCl}$

✓ الوصف:

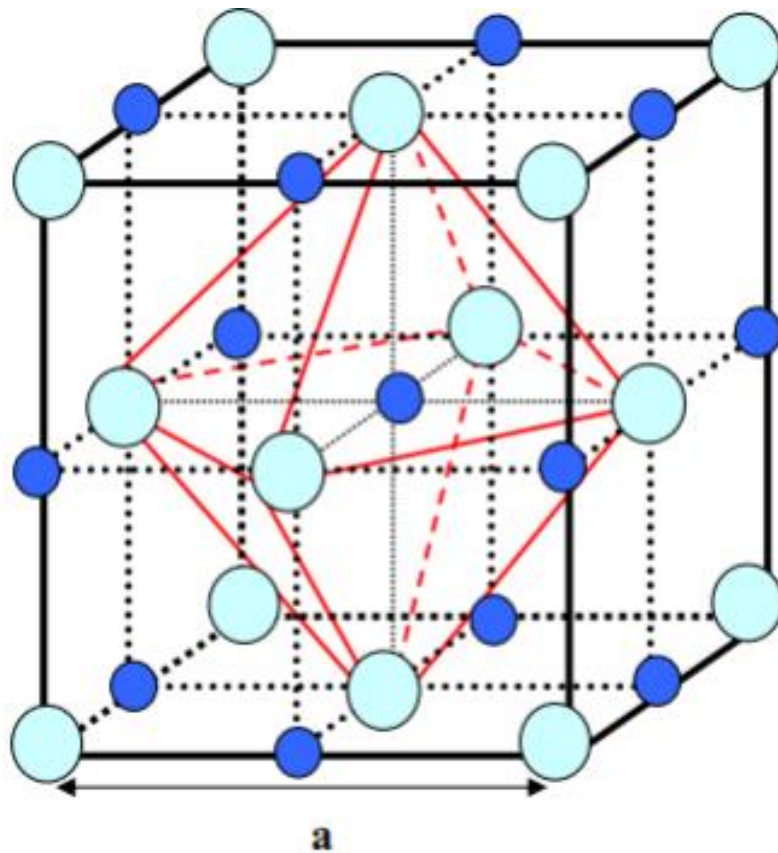
ذرة الكلور تشغّل البنية cfc .

ذرة الصوديوم تشغّل المواقع الثمانية .

✓ التناسق:

بالنسبة لذرة الصوديوم تمتلك 6 ذرات كلور كأقرب جوار في نصف حرف الخلية .

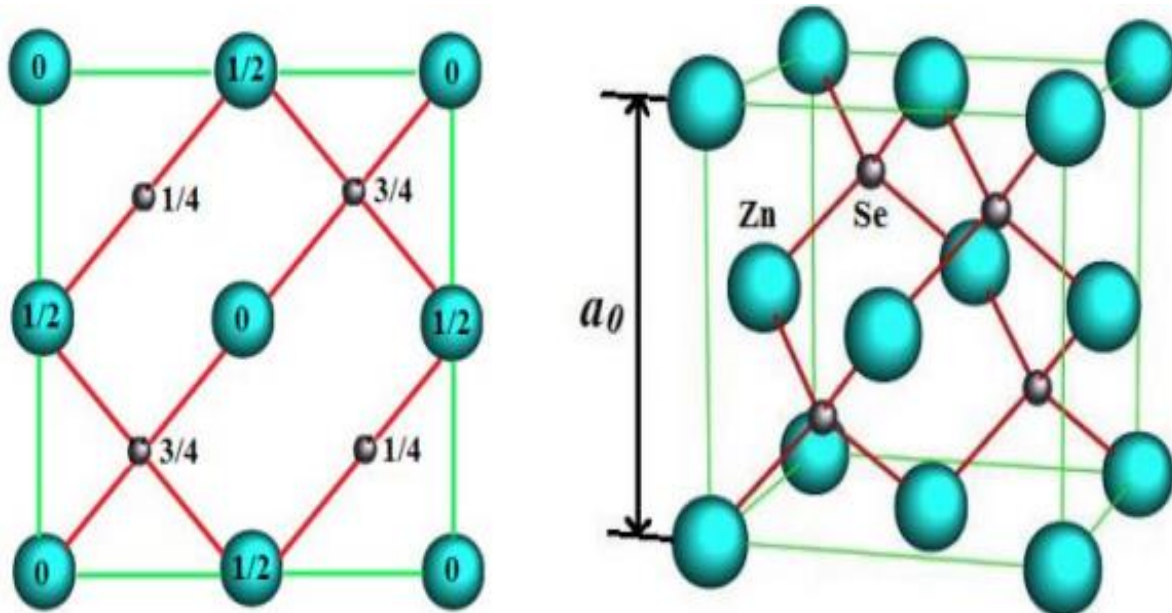
وبالنسبة لذرة الكلور فتمتلك 6 ذرات صوديوم كأقرب جوار كذلك في نصف الحرف .



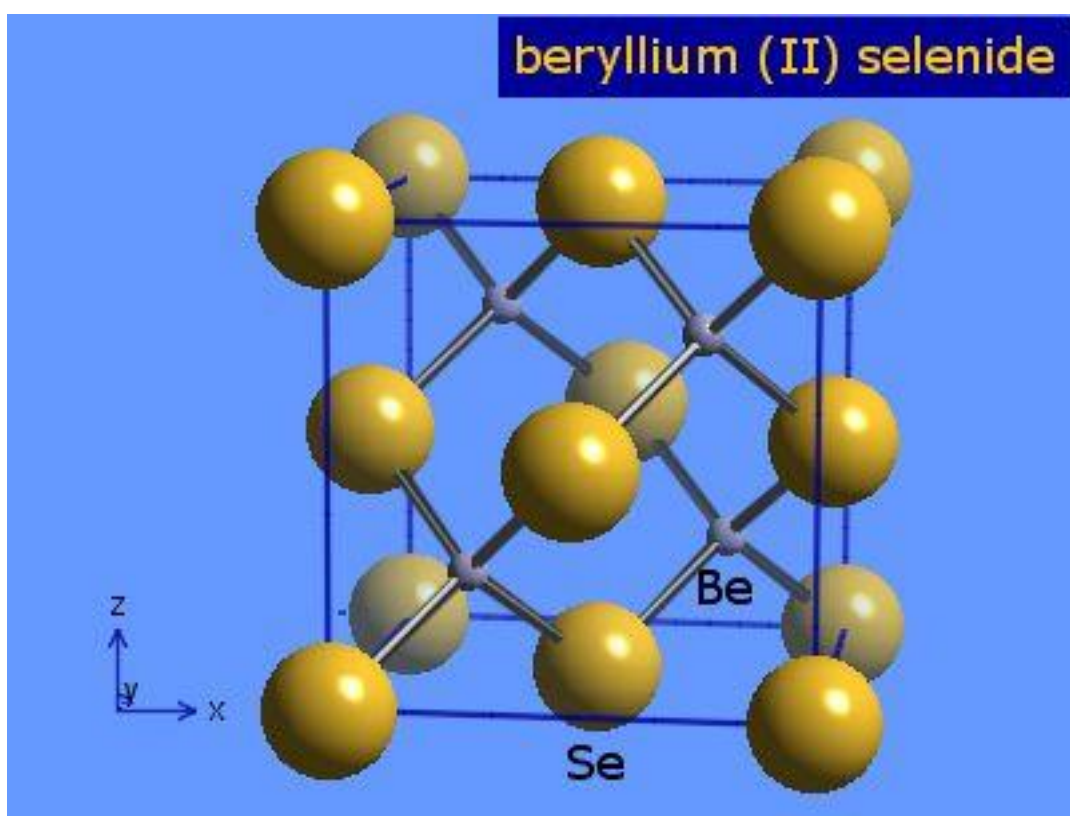
الشكل 5.1. البنية .NaCl.

### 3.5.1. البنية البلورية للمركبين ZnSe, BeSe (Crystal structure of the ZnSe and BeSe)

المركب المدروس في هذا العمل يتتشكل من مركبين ثنائيين BeSe, ZnSe كل من المركبين يمتلك خصائص مميزة نذكر منها البنية البلورية. يتبلور المركبين من أشباه الموصلات الثنائية ZnSe و BeSe في بنية كبريت الزنك ZnS قمعبية رباعية السطوح ونفس تهجين  $sp^3$ . بنية كبريت الزنك (ZnS) هي بنية من أصل مكعب ينتمي إلى المجموعة الفضائية F4 3m (Td). تتطابق وحدة الخلية في هذه البنية تقريباً مع تلك الموجودة في الماس مع الاختلاف الوحيد في أن كل ذرة من عنصر معين محاطة ،في بيئة رباعية السطوح، بأربع ذرات من العنصر الثاني. لذلك، فإن هذين المركبين عبارة عن بلورات بسيطة تفتقر إلى مركز التنااظر، وبالتالي فهي قادرة على إحداث تأثيرات كهرضغطية بالإضافة إلى تأثيرات أخرى تعتمد على التنااظرقطبي. و يلاحظ أن بنية كبريت الزنك لديها درجة من الترابط تصل إلى 0.34 (هذه هي درجة الملة). لذلك تعتبر بنية مفتوحة.



الشكل 6.1. بنية المركب .ZnSe



الشكل 7.1. بنية المركب .BeSe

## 6.1. الخلائط (Alloys)

قدّيماً، الخليط هو مزيج من عناصر أو أكثر شرط أن يكون أحدهما على الأقل معدناً [24]. أما حديثاً، يحدد الخليط على أنه مزيج من الذرات أو الأيونات أو الجزيئات لتشكيل مادة تختلف خصائصها عن خصائص المكونات. لقد سمح التطور السريع لتقنيات النمو البلوري والاهتمام العملي بأشباه الموصلات بتحقيق العديد من الخلائط الثنائية والثلاثية والرباعية. ونظراً لإمكانية تعديل العديد من خصائصها الفيزيائية يمكن تطبيقها في المجال الإلكتروني البصري.

يتم تصنيف الخلائط في أشباه الموصلات على النحو التالي:

- ✓ خلائط ثنائية : تتكون من عنصرتين A و B على الشكل AB.
- ✓ خلائط ثلاثية : يتكون هذا النوع من الخلائط من عنصرتين ثانويتين AB و AC.

يمكن أن تكون الخليط المكون إما:

- خليط ثلاثي أنيوني :  $AB_xC_{1-x}$
- خليط ثلاثي كتبيوني :  $A_xB_{1-x}C$

تتميز هذه الخلائط بالمعامل stoichiometric  $x$ . تجعل هذه المعلومة من الممكن تغيير خصائص المادة باستمرار ، لا سيما فجوة ومعلمة البلورية التي تميز أبعاد الخلية الأولية للشبكة البلورية.

✓ سبيكة الرباعية: من الممكن أيضًا إنتاج مركبات رباعية تتكون من أربعة عناصر ثنائية.

يمكن أن تكون هذه السبيائق إما:

- محلول رباعي من الشكل:  $A_{1-x}B_xC_yD_{1-y}$
- محلول ثلاثي ويمكن تقسيمه إلى فئتين:

- محليل أنيونية بحثة :  $AB_xC_yD_{1-x-y}$

- محليل الكاتيونية البحثة :  $A_xB_yC_{1-x-y}D$

تكمّن ميزة الخلائط الرباعية على الخلائط الثنائية والثلاثية في إمكانية تعديل معاملها الشبكي وطاقة فجوة النطاق بشكل مستقل تقريرًا عن طريق تغيير المعاملين  $x$  و  $y$ . لذلك من السهل نظرياً الحصول على طاقة الفجوة المطلوبة مع الحفاظ على إتفاق الشبكة مع الركيزة.

## 7.1. فجوة الطاقة (gapEnergy)

تعرف فجوة الطاقة بأنها الطاقة اللازمة لإثارة (نقل) الإلكترونات من قمة عصابات التكافؤ إلى قعر عصابات التوصيل، أو هي فسحة الطاقة الموجودة بين العصابات التكافؤ والتوصيل، وقد سميت بالمحظورة أو الممنوعة لأنها مكان خالي تقريباً من المستويات ولا تستقر فيها الإلكترونات في أشباه الموصلات النقية وإنما تتوارد فيها لفترة زمنية قصيرة جداً في أشباه الموصلات المشوهة وهذه الفجوة تحدد نوع المادة الصلبة [17]. حيث تعد واحدة من أهم الثوابت البصرية التي يعتمد عليها في فiziاء أشباه الموصلات لتصنيع العديد من الأجهزة الإلكترونية مثل الخلايا الشمسية والكواشف وال الثنائيات الضوئية وغيرها. ويتم اختيار مواد شبه موصلة حيث تكون طاقة فجوتها الممنوعة تقارن بطاقة الفوتونات ضمن الجزء المرئي و UV و IR من الطيف الكهرومغناطيسي، وذلك للتعرف على مقدار ما ينفذ أو يمتص أو ينعكس من الفوتونات المؤثرة على الغشاء [18]. تم حساب فجوة الطاقة الممنوعة للانتقال المباشر المسموح من العلاقات الآتية [19].

$$(1.1) \quad \alpha h\nu = A(h\nu - E_g)^r$$

حيث إن  $\alpha$  : معامل الامتصاص-  $v$  تردد الشعاع الساقط-  $h$  ثابت بلانك-  $A$  ثابت -  $E_g$  فجوة الطاقة وتبسيط المعادلة للانتقال المباشر نحصل على

$$(2.1) \quad (\alpha h\nu)^2 = A^2 (h\nu - E_g)$$

$r$  : معامل أسي يعتمد على نوع الانتقال . إذا كان  $r=1/2$  انتقال مباشر مسموح. أو  $r=3/2$  إنتقال مباشر ممنوع أما إذا كان  $r=2$  انتقال غير مباشر مسموح أو  $r=3$  انتقال غير مباشر ممنوع حيث إن قيمة  $r$  هنا هي  $1/2$ .

### 1.7.1. معامل الامتصاص (Absorption coefficient)

يعرف معامل الامتصاص ( $a$ ) بأنه نسبة النقصان في فيض طاقة الإشعاع بالنسبة لوحدة المسافة باتجاه انتشار الموجة داخل الوسط، ويعتمد على طاقة الفوتونات الساقطة، الطول الموجي، طبيعة سطح الغشاء و فجوة الطاقة لشبه الموصل ونوع الانتقالات الإلكترونية التي تحدث بين حزم الطاقة [23] تم استخدام المعادلة الآتية لحساب معامل امتصاص للفضاء المستخدم في البحث [20].

$$(3.1) \quad \alpha = 2.303A / t \alpha$$

الامتصاصية :  $A(Cm^{-1})$ : معامل الامتصاص مادة الغشاء  $(1100A^\circ)$ : سمك الغشاء الرقيق.

### 2.7.1. معامل الخמוד (Influence coefficient)

يعرف معامل الخמוד الحاصل للموجة الكهرومغناطيسية داخل المادة بأنه كمية ما تمتصه إلكترونات المادة من طاقة الفوتونات الساقطة. تم حساب معامل الخמוד و قيم الامتصاص المحسوبة من طيف الامتصاصية للغشاء المستخدم و حسب المعادلة الآتية [19].

$$(4.1) \quad K = \alpha \lambda / 4\pi$$

حيث أن  $K$ : معامل الخמוד .

$\lambda$ : الطول ألموجي لإشعاع الساقط(nm).

## المراجع

- [1] اس. ام. زي "نبأط أشباه الموصلات فيزياء و تقنية" ، ترجمة د. فهد غالب و د. حسين علي أحمد ، جامعة الموصل ، (1990) .
- [2] A. S. Grove , "Physics and Technology of Semiconductors Devices", University of California, Berkeley, ( 1967) .
- [3] S. M. Sze, "Semiconductor Devices Physics and Technology", (1990) . Printce- Hall of India Private Limited (1985).
- [4] J. C. Philips, " Bonds and Bands in Semiconductors " , Academic Press, New York & London, (1973) .
- [5] B. G. Streetman, "Solid State Electronic Devices", University of Texas At Austin, Dep. Of Electrical & Computer Engineering, Printce.Hall of India, New Delhi, (1997).
- [6] V. A. Bruk,V.V. Garshcnin& A. I. K. Wroov,"Semiconductor Technology", Translated from Russia by A. Ulaynove, Mir Pullishers, Moscow, (1969).
- [7] J. S. Blakmore , "Solid State Physics" , 2nd ed, W. B. Saunders Company, U.S.A, (1974).
- [8] B. Sapoval and C. Hermann, "Physics of Semiconductors", Springer. Verlag, New York ,Inc (1995)
- [9] H. T. GRAHN, "Introduction to semiconductor physics", World scietific publishing, London, P.1-10, (2001).
- [10] I. BERGER, "Semiconductor Materials", CRC Press, New York, P. 15-35 (1997).

- [11] A. TRIBBLE, "Electrical engineering material and devices", University of Iowa, Iowa, (2002).
- [12] ف. ح. خليل، و. أ. طه وس. ج. قاسم، تحضير ودراسة الخواص التركيبية للأغشية الرقيقة CdS و CdTe، مجلة البصرة للعلوم، المجلد 26 ، العدد 1، ص. 28-37 (2012).
- [13] S. ADACHI, "Properties of Group-IV, III-V and II-VI Semiconductors", John Wiley & Sons Ltd, Chichester- England, P. 6-20 (2005).
- [14] H. M. KHALLAF, "Chemical bath deposition of group ii-vi semiconductor thin films for solar cells applications", Doctoral thesis, University of Central Florida, USA, P. 14-57 (2009).
- [15] S. IGMATOWICZ and A. KOBENDZA, "Semiconducting thin films A II B VI compounds", John Wiley & Sons, New Work, (1981).
- [16] N. KH. ABRIKOSOV, V. F. BANKINA, L. V. PORETSHAYA, L. E. SHELIMOVA and E. V. SHUDNOVA, "Semiconducting II-IV, IV-VI and V-VI compounds", plenum press, New York, (1969).
- [17] T. Nasrallah.Ben, M. Amlouk, J. C. Bemedé, S. Belgacem (2004), "Physica status Solidi", Vol.201, Iss14, pp. (3070-3076).
- [18] نيران فاضل عبد الجبار, (2002) " دراسة الخواص البصرية والتركيبية للأغشية أوكسيد الكالسيوم النقيّة والمشوّبة قبل وبعد التلدين ", رسالة ماجستير, كلية التربية جامعة تكريت.
- [19] J . S. Blakmore, (1986), " Solid State Physics", Cambridge Press .2nd .ed. (45)p.
- [20] R. S Longhurst, ( 1967 ). "Geometrical And Physical Optics" Longman Group LTD,Londoun- 2nd ed, (112)p .
- [21] Fahrenbruch A. L. and Bube R. H. Led "Fundamentals of SolarCells", Academic, New York, (1993).

[22] علم البلورات الأشعة السينية، أ.د نعيمة عبد القادر أحمد وأ.د محمد أماني سليمان، دار الفكر العربي . الطبعة الأولى 2005.

[23] j. Lonkhande, C. D. Yermune,V.S.Pawar (1988), "Materials Chemistry and Physics", Vol.(20), N.(3), pp.(283-292).

. [24] علم المواد، مجلة العلوم و التقنية، العدد 47، ١٤١٩ هـ، 1998.

# **الفصل الثاني: نتائج و مناقشة**

## 1.2. مقدمة

في هذا الفصل تم تحديد الخصائص البنوية والالكترونية للمركب الثلاثي  $Zn_{1-x}Be_xSe$  انطلاقاً من دراسة الخصائص البنوية والالكترونية للمركبين الثنائيين  $ZnSe$  و  $BeSe$  والمركبان له. و لدراسة هذه الخصائص استخدمنا طريقة FP-LMTO و المدرج في برنامج MindLap، و تم إجراء هذه الحسابات في إطار نظرية دالة الكثافة الإلكترونية، حيث انه لحساب كمون تبادل - ارتباط استخدمنا التقرير LDA.

### 2. خصائص المركبين الثنائيين

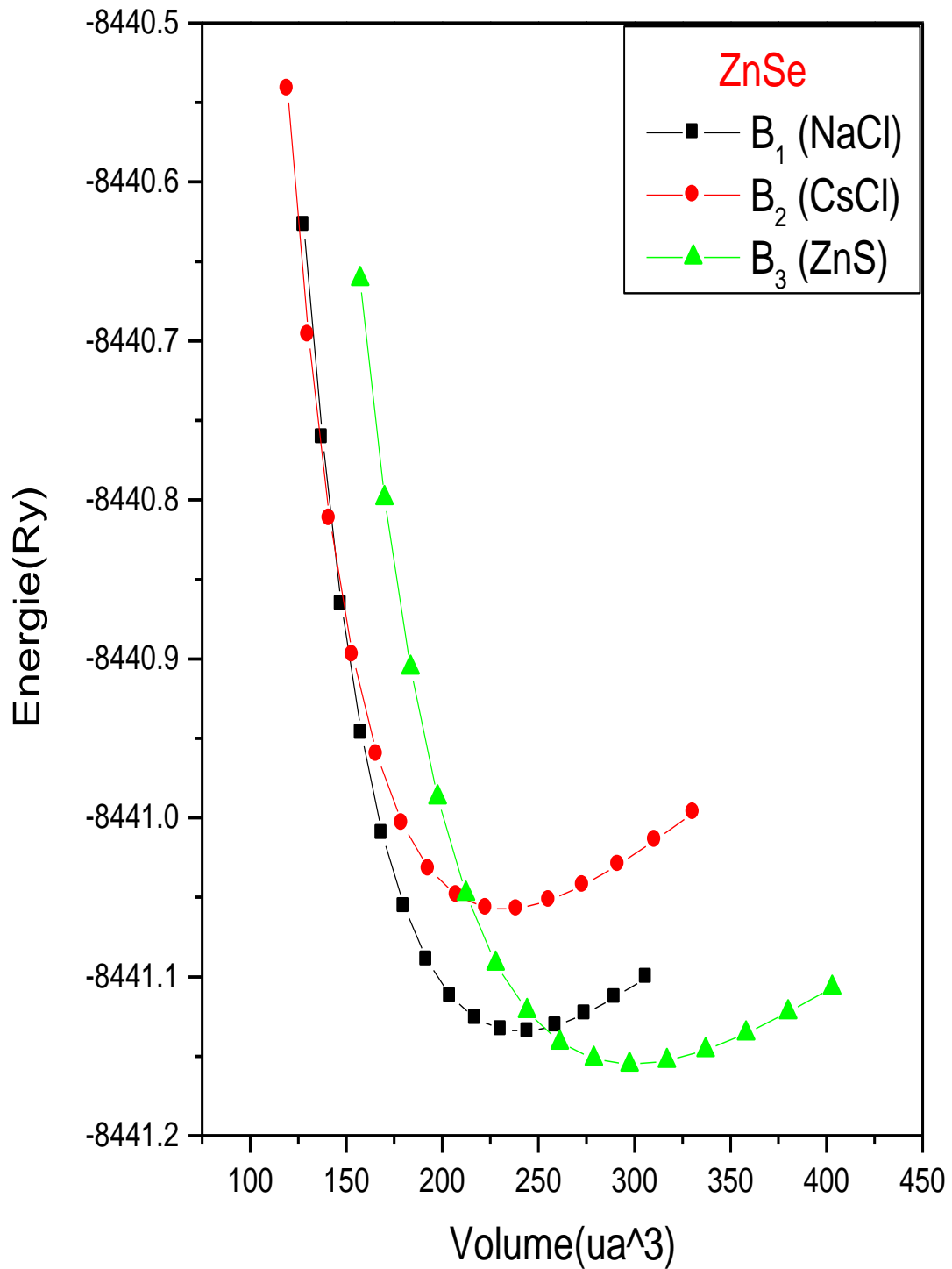
#### 1.2.2. دراسة الخصائص البنوية للمركبين $ZnSe$ و $BeSe$

لغرض معرفة البنية البلورية للمركب الثلاثي  $Zn_{1-x}Be_xSe$  ستنطلق من معرفة البنية البلورية للمركبين الثنائيين  $ZnSe$  و  $BeSe$  اللذان يربكانه و ذلك بتجريب حساب الطاقة الكلية بدلاً من الحجم في ثلاث بنيات هي (ZnS(B3), NaCl (B1), CsCl (B2)). ثم رسم المنحني (الشكل 1.2 و 2.2) الذي تم الحصول عليه بواسطة معادلة مورناغان (l'équation de Murnaghan [1]).

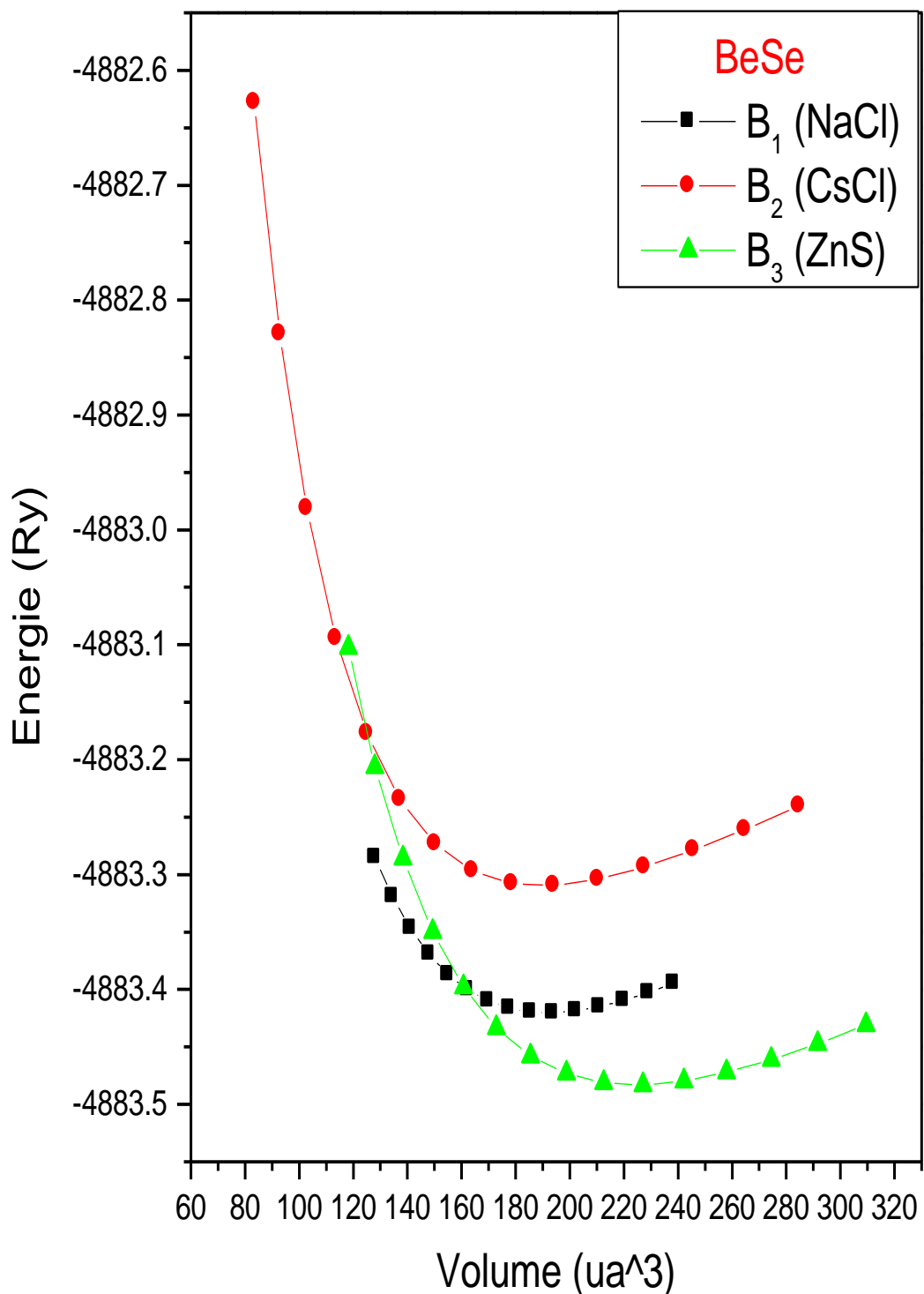
$$(2.01) \quad E(V) = E_0 + \frac{B}{B(B-1)} \left[ V \left( \frac{V_0}{V} \right)^B - V_0 \right] + \frac{B}{B} (V - V_0)$$

حيث  $E_0$  و  $V_0$  و  $B$  وهي على التوالي : الطاقة الإجمالية والحجم عند التوازن ومعامل الانضغاط ومشتقته. يُعطى معامل الانضغاط من خلال :

$$(2.02) \quad B = V \frac{\partial^2 E}{\partial V^2}$$



الشكل 1.2. الطاقة الكلية بدلالة الحجم للمركب ZnSe في البنية الثالث  $B_1$  و  $B_2$  و  $B_3$



الشكل 2.2. الطاقة الكلية بدلالة الحجم للمركب ZnSe في البنيات الثلاث  $B_1$  و  $B_2$  و  $B_3$ .

انطلاقاً من الشكلين (1.2 و 2.2), نستطيع ان نقول ان البنية البلورية للمركيبين ZnSe و BeSe هي بنية ZnS, و ذلك من خلال النظر للطاقة الكلية بدلالة الحجم للمركيبين و التي تكون اقل قيمة لها في البنية  $B_3$  وهي بنية ZnS. و يمثل الجدول (1.2) كلاً من معامل الشبكية و معامل الإنضغاطية في المركيبين المدروسين و بعض النتائج التجريبية و النظرية للمقارنة.

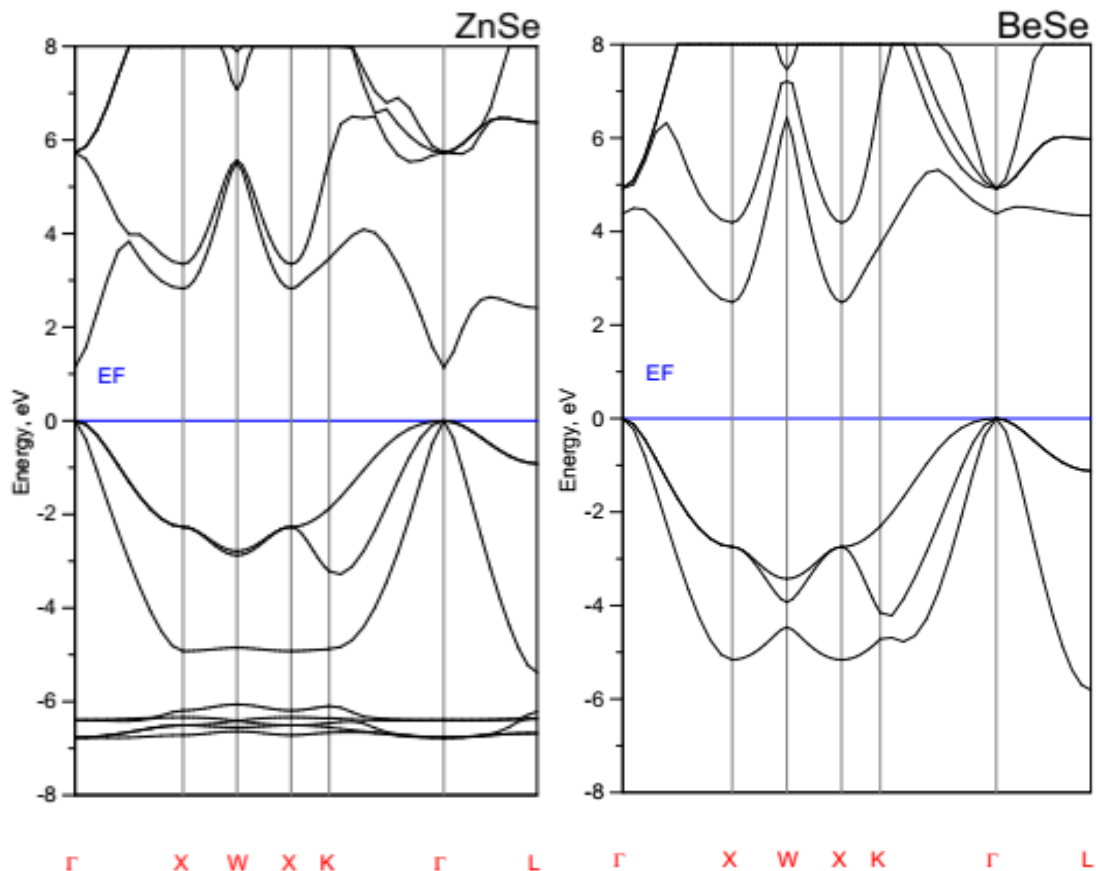
### الجدول 1.2. معامل الشبكية و معامل الإنضغاطية للمركيبين ZnSe و BeSe.

مركب	ثابت الشبكية ( $a_0$ ) Å			ثابت الانضغاطة $B_0$ (GPa)		
	المحسوبة	التجريبية	حسابات سابقة	المحسوبة	التجريبية	حسابات سابقة
ZnSe	5.618	[2] 5.668 [3] 5.666	[2] 5.635	68.6267	[4] 64.7	[3] 67.32 [4] 63.9
BeSe	5.1036	[5] 5.137	[6] 5.14 [7] 5.037 [8] 5.178	83.513	[5] 92	[7] 80 [8] 75 [6] 79.53

حيث نرى أن النتائج المحصل عليها متقاربة جداً مع النتائج التجريبية و كذا النتائج النظرية المتحصل عليها في حسابات سابقة.

#### 2.2.2. دراسة الخصائص الإلكترونية للمركيبين ZnSe و BeSe.

في هذا الجزء سنحدد الطبيعة الإلكترونية للمركيبين الثنائيين من خلال عصابات الطاقة المبينة في الشكل (3.2) و ذلك بدراسة مساهمة كل من المدارات الإلكترونية لذرات المركيبين في المجال الطيفي المحصور بين 8.0 eV - 8.0 eV.



الشكل 3.2. عصابات الطاقة للمركبين  $\text{ZnSe}$  و  $\text{BeSe}$  في البنية  $\text{B}_3$ .

يبين الشكل (3.2) عصابات الطاقة للمركبين  $\text{ZnSe}$  و  $\text{BeSe}$  في البنية  $\text{B}_3$  ل spin up. و تظهر الوثيقتين أن كلا المركبين من فئة أشباه الموصلات. في حين أن الجدول (2.2) يمثل قيم فجوة الطاقة للمركبين و نوعها.

## الجدول 2.2. طاقة الفجوة للمركبين $\text{ZnSe}$ و $\text{BeSe}$ في البنية $\text{B}_3$ .

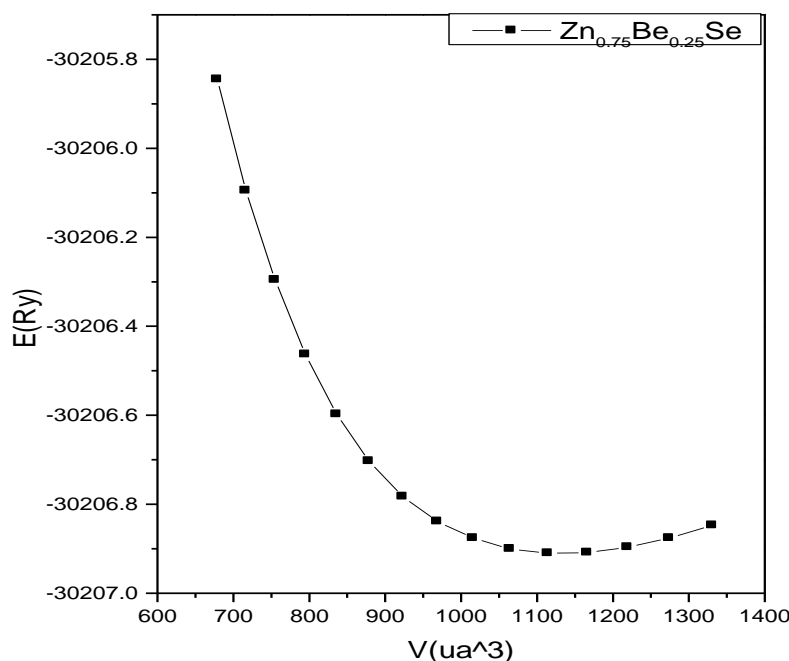
$E_g$ (eV)			
	المحسوبة	التجريبية	حسابات أخرى
$\text{ZnSe} (\Gamma - \Gamma)$	1.140	<sup>[9]</sup> 2.68	<sup>[12]</sup> 1.848, <sup>[11]</sup> 1.863 <sup>[13]</sup> 2.50
$\text{BeSe} (X - \Gamma)$	2.490	<sup>[14]</sup> 4.5	<sup>[15]</sup> 3.61, <sup>[10]</sup> 3.64 <sup>[6]</sup> 2.43

من خلال حساباتنا وجدنا أن المركب  $ZnSe$  لديه فجوة طاقة مباشرة في النقطة عالمة  $\Gamma$  و تقدر ب  $1.140 \text{ eV}$  و التي تمثل  $0.4253$  من القيمة التجريبية و  $0.61$  من أقل قيمة نظرية و هذا الفارق الكبير يرجع إلى التقريرات المستعملة في هذا العمل. في حين أن فجوة الطاقة غير المباشرة للمركب  $BeSe$  تقدر ب  $2.490 \text{ eV}$  و تمثل  $0.55$  من القيمة التجريبية و تتناسب مع بعض القيم النظرية و ذلك يعود للأسباب نفسها.

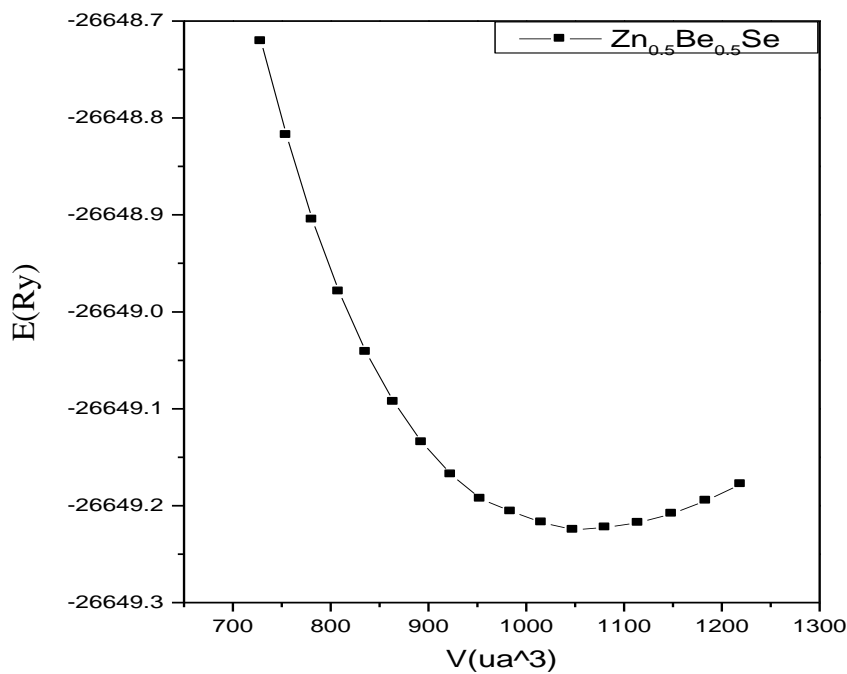
### 3.2. خصائص المركب الثلاثي $Zn_{1-x}Be_xSe$

#### 1.3.2. الخصائص البنوية للمركب الثلاثي $Zn_{1-x}Be_xSe$

عرفنا في الجزء السابق أن بنية المركبين  $BeSe$  و  $ZnSe$  هي بنية  $ZnS$  المشهورة. مما يدل على أن المركب الثلاثي مستقرًا أيضًا في البنية نفسها. في هذا الجزء سنغير تركيز العنصر  $Be$  في المركب الثلاثي من  $0.25$  إلى  $0.5$  وصولاً إلى  $0.75$  و نرى كيف يؤثر ذلك على الطاقة الكلية الصغرى  $E_0$  و ثابت الشبكية  $a_0$  و ثابت الانضغاطية  $B_0$ . حيث تمثل الأشكال (4.2, 5.2 و 6.2) الطاقة الكلية بدالة الحجم للمركب الثلاثي  $Zn_{1-x}Be_xSe$  في البنية  $ZnS$  من أجل  $x = 0.25$  و  $x = 0.5$  و  $x = 0.75$  على الترتيب.

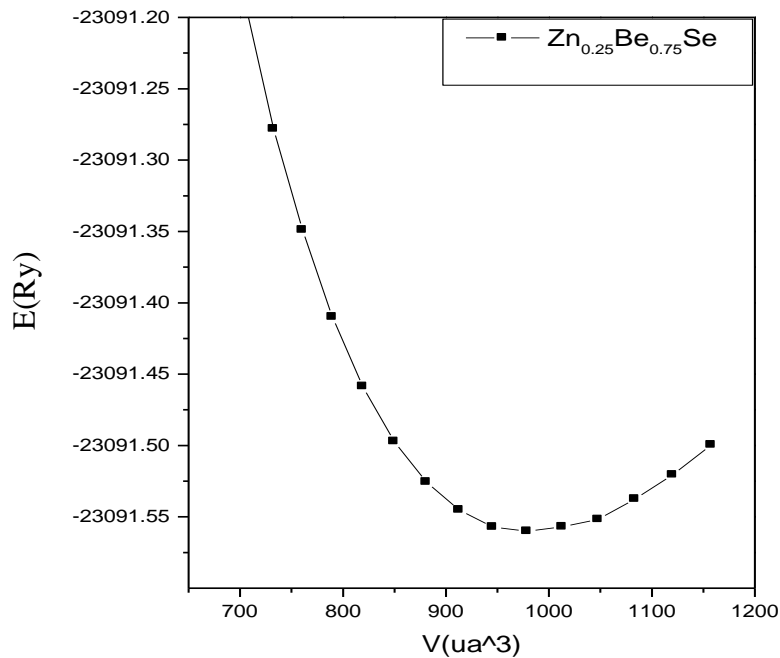


الشكل 4.2. الطاقة الكلية بدالة الحجم للمركب الثلاثي  $Zn_{1-x}Be_xSe$  في البنية ZB من أجل  $x = 0.25$



الشكل 5.2. الطاقة الكلية بدلالة الحجم للمركب الثلاثي Zn<sub>1-x</sub>Be<sub>x</sub>Se في البنية ZB من أجل

$$x = 0.5$$



الشكل 6.2. الطاقة الكلية بدلالة الحجم للمركب الثلاثي Zn<sub>1-x</sub>Be<sub>x</sub>Se في البنية ZB من أجل

$$x = 0.75$$

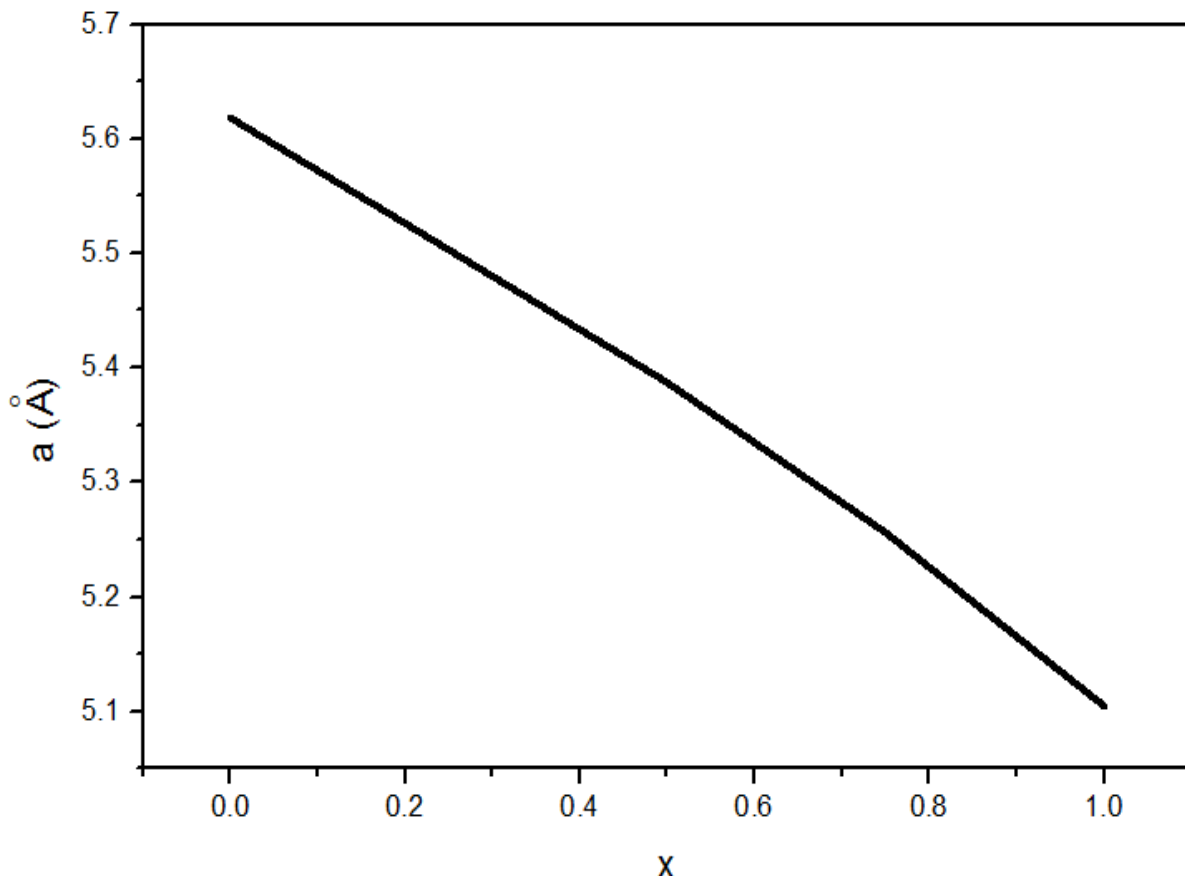
**الجدول 3.2. الطاقة الكلية الصغرى  $E_0$  بدلالة التركيز  $x$  للمركب الثلاثي  $Zn_{1-x}Be_xSe$**

المركب	التركيز $x$	الطاقة الكلية الصغرى $E_0$ (Ry)
$Zn_{1-x}Be_xSe$	0.25	-30206.91256
	0.5	-26649.22454
	0.75	-23091.56079

و من الجدول (3.2) الذي يمثل التغير في الطاقة الكلية الصغرى بدلالة التغير في التركيز  $x$  نرى أنه كلما زاد تركيز العنصر Be في المركب أصبح المركب أقل استقراراً و ذلك بارتفاع طبقه الكلية الصغرى. في حين أن الجدول (4.2) بين لنا تناوباً عكسيًا بين ثابت الشبكية  $a_0$  و تركيز العنصر Be في المركب. و يظهر أيضاً تناوباً طردياً بين التركيز  $x$  و ثابت الانضغاطية  $B_0$ . كما كانت نتائج ثابت الشبكية المحصل عليها متقاربة مع النتائج النظرية الأخرى على عكس ما نراه في نتائج ثابت الانضغاطية التي نرى فيها تبايناً بين النتائج المحصل عليها و النتائج النظرية الأخرى.

**الجدول 4.2. ثابت الشبكية  $a_0$  و ثابت الانضغاطية  $B_0$  للمركب الثلاثي  $Zn_{1-x}Be_xSe$  في البنية ZB من أجل  $x = 0.25, 0.5, 0.75$**

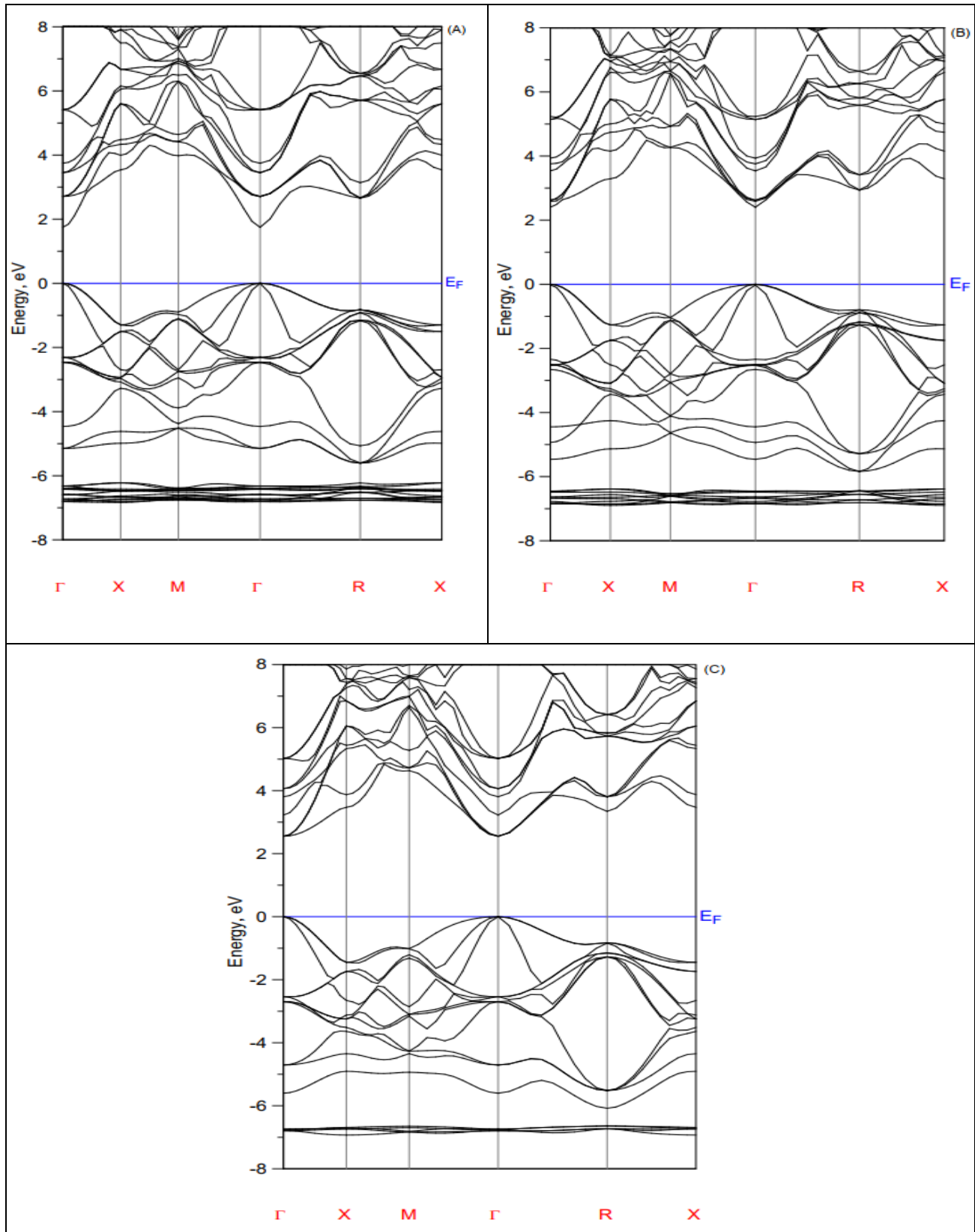
التركيز	المركب	ثابت الشبكية ( $\text{\AA}$ )			ثابت الانضغاطية ( $\text{GPa}$ )		
		X	المحسوبة	التجريبية	حسابات أخرى	المحسوبة	التجريبية
$Zn_{1-x}Be_xSe$	0.25	5.503		5.632 <sup>[10]</sup> 5.642 <sup>[10]</sup>	73.688		60.810 <sup>[10]</sup> 61.71 <sup>[10]</sup>
	0.5	5.387		5.505 <sup>[10]</sup> 5.514 <sup>[10]</sup>	76.069		65.407 <sup>[10]</sup> 65.94 <sup>[10]</sup>
	0.75	5.256		5.359 <sup>[10]</sup> 5.367 <sup>[10]</sup>	79.642		70.136 <sup>[10]</sup> 70.49 <sup>[10]</sup>



الشكل 7.2. تغير ثابت الشبكة بدلالة التركيز للمركب الثلاثي  $Zn_{1-x} Be_x Se$

### 2.3.2. الخصائص الالكترونية للمركب الثلاثي $Zn_{1-x} Be_x Se$

في هذا الجزء سندرس الخصائص الالكترونية للمركب الثلاثي  $Zn_{1-x} Be_x Se$  عن طريق عصابات الطاقة الموضحة في الشكل (7.2) و نرى كيف يؤثر تركيز العنصر Be في المركب على طاقة الفجوة المباشرة على نقطة عالية التناظر  $\Gamma$ . من خلال الجدول (5.2) نلاحظ أن الحسابات المتحصل عليها تتوافق و الحسابات النظرية الأخرى. كما نلاحظ أيضا انه كلما زاد تركيز العنصر Be في المركب أصبحت طاقة الفجوة أكبر.

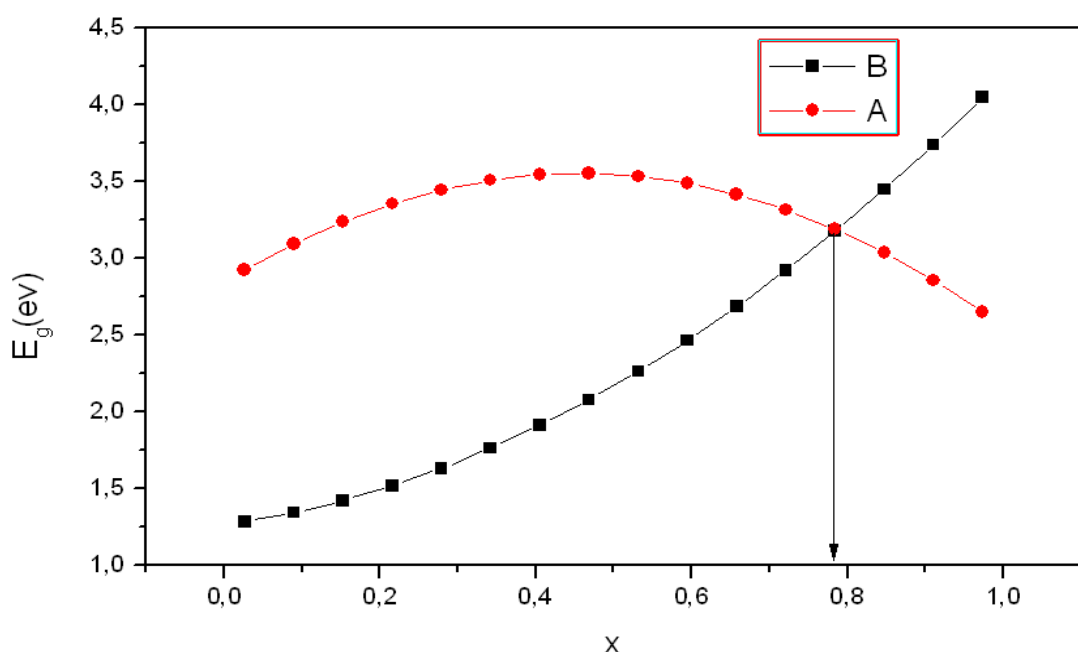


الشكل 8.2. عصابة الطاقة للمركب الثلاثي  $Zn_{1-x}Be_xSe$  بحيث الوثيقة (A) من أجل تركيز  $x = 0.25$  والوثيقة (B) من أجل تركيز  $x = 0.5$  والوثيقة (C) من أجل تركيز  $x = 0.75$ .

**الجدول 2.5.** طاقة الفجوة لمركب الثلاثي  $Zn_{1-x}Be_xSe$  من أجل  $x = 0.25, 0.5, 0.75$

المركب	التركيز	طاقة الفجوة $E_g$ (eV)		
		المحسوبة	تجريبية	حسابات أخرى
$Zn_{1-x}Be_xSe$	0.25	1.745		<sup>[10]</sup> 1.67 <sup>[10]</sup> 1.804 <sup>[10]</sup> 2.24
	0.5	2.402		<sup>[10]</sup> 2.248 <sup>[10]</sup> 2.408 <sup>[10]</sup> 3.09
	0.75	2.553		<sup>[10]</sup> 2.673 <sup>[10]</sup> 2.544 <sup>[10]</sup> 3.68

يمثل الشكل (9.2) تغير طاقة الفجوة بدلالة التركيز ( $x$ ) ، ويظهر لنا بوضوح أن المركب الثلاثي  $Zn_{1-x}Be_xSe$  به طاقة فجوة مباشرة من أجل تركيز يتراوح من 0 إلى 0.78. بعد هذا التركيز (0.78) تصبح طاقة الفجوة غير مباشرة.



**الشكل 9.2.** طاقة الفجوة لمركب الثلاثي  $Zn_{1-x}Be_xSe$  بدلالة التركيز حيث المنحنى A يخص الفجوة غير المباشرة و المنحنى B يخص طاقة الفجوة المباشرة

## المراجع

- [1] F.D.Murnaghan, Proc. Natl. Acad. Sci. USA30, 5390 (1944).
- [2] H. Okuyama, Y. Kishita, and A. Ishibashi, Phys. Rev. B 57, (1998) 2257.
- [3] R. Gangadharan, V. Jayalakshmi, J. Kalaiselvi, S. Mohan, R. Murugan, B. Palanivel, J. Alloy. Compd. 5 (2003) 22.
- [4] B.H. Lee, J. Appl. Phys. 41 (1970) 2988.
- [5] H. Luo, K. Ghandehair, R. G. Geene, A. L. Ruoff, S. S. Trail, and F. J. DiSalvo, Phys. Rev. B 52, (1995) 7058.
- [6] S.M. Alay-e-Abbas, Kin Mun Wong, N.A. Noor, A. Shaukat, Yong Lei. Solid State Sciences 14 (2012) 1525-1535.
- [7] M. González-Díaz, P. Rodríguez-Hermández, and A. Muñoz, Phys.(1997) Rev. B 55, 14043.
- [8] C.M.I. Okoye, Eur. Phys. J. B 39 (2004) 5.
- [9] O. Madelung (ed.), Londolt-Börnstein New Series III, Springer, Berlin, (1987), Vol. 22.
- [10] H. Baaziz, Z. Charifi, F. El Haj Hassan, S. J. Hashemifar, and H. Akbarzadeh, phys. (2006) stat. sol. (b) 243, 1296.
- [11] El Haj Hassan F, Amrani B and Bahsoun F (2007) Physica B 391-365.
- [12] K. Hacini, H. Meradji, S. Ghemid and F. El Haj Hassan (2012) Chin. Phys. B Vol. 21, No. 3. 036102.
- [13] A. M. Saitta, S. de Gironcoli, and S. Baroni, Appl. Phys. Lett. 75, 2746 (1999).
- [14] W. M. Yim, J. P. Dismukes, E. J. Stofko, and R. J. Poff, J. Phys. (1972) Chem. Solids 33, 501.
- [15] F.E. Haj Hassan, H. Akbarzadeh. Computational Materials Science 35 (2006) 423–431.

## خاتمة عامة

في هذا العمل ، و باستخدام طريقة FP-LMTO، قمنا بدراسة الخصائص البنوية والإلكترونية للمركب  $Zn_{1-x}Be_xSe$ .

عملنا هذا مقسم إلى جزأين. يتعلق الجزء الأول بدراسة تفصيلية للخصائص البنوية والإلكترونية للمركبين الثنائي  $ZnSe$  و  $BeSe$ . في حين أن الجزء الثاني من هذا العمل متعلق بدراسة نفس الخصائص للمركب الثلاثي  $Zn_{1-x}Be_xSe$ .

الجزء الأول من هذا العمل هو دراسة هذه الخصائص للمركبات الثنائية  $BeSe$  و  $ZnSe$ . حيث تتفق نتائج الخصائص البنوية التي تم الحصول عليها بشكل جيد مع البيانات النظرية والتجريبية المتوفرة. في حين أن نتائج الخصائص الإلكترونية تختلف عن النتائج التجريبية المتوفرة.

الجزء الثاني مخصص لدراسة المركب الثلاثي  $Zn_{1-x}Be_xSe$ . ركزت دراستنا على اختلاف المعاملات البنوية، أي معامل الشبكة  $a_0$  ومعامل الانضغاطية  $B_0$  بالإضافة إلى فجوة الطاقة  $E_g$  مع التركيز  $x$ .

تتغير ثابت الشبكة  $a_0$  بشكل عكسي بدلالة التركيز حيث كلما زاد التركيز أصبح معامل الشبكة أصغر على عكس ما يحدث مع معامل الانضغاطية  $B_0$  و طاقة الفجوة  $E_g$  اللذان كلما كبر التركيز كلما أصبحا أكبر. حيث تتوافق النتائج المحصل عليها تقريبيا مع النتائج النظرية المتوفرة.